

مطالعه‌ی تأثیر لحاظ عدم قطعیت‌های عمق رخدادها در نتایج تحلیل خطر لرزه‌ی احتمالاتی

مهدی موسوی^{*} (استادیار)

علی فرهادی (دانشجوی کارشناسی ارشد)

علمی‌ضا آذر بخت (استادیل)

دانشکدهی مهندسی عمران، دانشگاه اراک

حمید زعفرانی (استادیار)

پژوهشگاه ملی زلزله‌شناسی و مهندسی زلزله

در تحلیل خطر لزبی احتمالاتی مرسوم، از لحاظ اثر عدم قطعیت عمق رخدادها چشم‌پوشی شده و یک توزیع یکنواخت برای آن منظور می‌شود؛ در حالی که عمق رخدادها در طبیعت از یک توزیع یکنواخت تبعیت نمی‌کند و حتماً متغیری تصادفی با پراکنده‌گی قابل ملاحظه است. در این نوشتار با آگاهی از محدودیت‌های روش کلاسیک و به منظور ارزیابی اثر لحاظ این عدم قطعیت در نتایج نهایی تحلیل خطر، از روش شبه ساری مونتکارلو در مطالعه موردی تحلیل خطر شهرستان ازان استفاده شده است. ابتدا نتایج حاصل از روش مونتکارلو در مقابل روش کلاسیک صحت سنجی شده و در ادامه، با اعمال فرض توزیع غیریکنواخت حاصل از تحلیل داده‌های کاتالانگ، فرایند تحلیل خطر تکمیل شده است. نتایج نشان داده است که در نظرگرفتن توزیع واقع‌گرایانه عمق می‌تواند تأثیر قابل ملاحظه‌ای در نتایج نهایی تحلیل خطر در خلاف جهت اطمینان داشته باشد.

m-mousavi@araku.ac.ir
farhadia99@yahoo.com
a-azarbakht@araku.ac.ir
h.zafarani@iiees.ac.ir

وازگان کلیدی: تحلیل خطر لرزه‌ی احتمالاتی، شبیه‌سازی مونتکارلو، عمق رخدادها، منحنی خطر، ازنا.

۱. مقدمه

در تحلیل خطر لرزه‌یی احتمالاتی با درنظرگرفتن تمامی رخدادهای ممکن و نیز لحاظ عدم قطعیت‌های موجود در قالبی نظام مند، به برآورد مشخصه‌یی از جنبش زمین به همراه احتمال فراگذشت از آن در یک دوره‌ی زمانی پرداخته می‌شود.^[۱] فرایند تحلیل خطر لرزه‌یی کلاسیک، همان‌گونه که در شکل ۱ نشان داده شده است، در این ۴ گام صورت می‌پذیرد:^[۲]

۱. شناسایی چشمه‌های لرزه‌زای فعال بر مبنای مطالعه‌ی لرزه‌ی زمین ساخت.
 ۲. تعیین رابطه‌ی بین بزرگا و نزخ وقوع رخدادها بر پایه‌ی مطالعه‌ی لرزه‌خیزی.
 ۳. انتخاب رابطه‌ی کاهندگی مناسب جهت برآورد مشخصه‌ی جنبش‌های زمین.
 ۴. محاسبه‌ی منحنی خطر با تجمعی نظام‌مند عدم قطعیت‌های مختلف در بزرگا و فاصله.

عدم قطعیت‌های موجود، در قالب رابطه‌ی ۱، در حارج‌بود محاسباتی تحلیل

جامعة الملك عبد الله

تاریخ: در یافته ۱۳۹۲/۸/۱۰، اصلاحیه ۱۳۹۳/۳/۱۰، پذیرش ۲۷/۳/۱۳۹۳

۲. تحلیل خطر لرزه‌یی مبتنی بر شبیه‌سازی مونتکارلو

همان‌گونه که در مقدمه اشاره شده است، استفاده از شبیه‌سازی مونتکارلو در فرایند تحلیل خطر لرزه‌یی تازگی نداشته و در مطالعات بسیاری از آن استفاده شده است؛ اما برای اولین بار موسون^[۴] (۲۰۰۵) از روش مذکور و مزایای مربوط به آن استفاده کرده است.^[۵]

در روش مبتنی بر شبیه‌سازی مونتکارلو، نخست برای تمام چشم‌های لرزه‌زا، رابطه‌ی بین بزرگای زلزله و نزد وقوع به دست می‌آید و براساس آن به بازنویسی تصادفی کاتالوگ‌های متعدد زلزله پرداخته می‌شود. این کاتالوگ‌ها حاوی تمامی رخدادهای ممکن به همراه اطلاعاتی نظیر: زمان، بزرگا و محل وقوع رخدادها هستند، پس از شبیه‌سازی کاتالوگ‌های زلزله، مشخصه‌ی جنبش زمین برای هر یک از رخدادهای موجود در کاتالوگ‌ها برآورد خواهد شد. در پایان به جای انتگرال‌گیری روی تمامی رخدادهای ممکن، که چارچوب محاسباتی روش احتمالاتی تحلیل خطر لرزه‌یی را تشکیل می‌دهد، تعداد فراگذشت مشخصه‌ی جنبش زمین مربوط به هر یک از رخدادهای موجود در کاتالوگ تعیین و با تقسیم مقدار ذکر شده بر بازه‌ی زمانی کاتالوگ، نزد فراگذشت سالانه‌ی آن سطح از مشخصه‌ی حرکت زمین برآورد و منحنی خطر محاسبه خواهد شد.^[۶] در شکل ۲، چارچوب محاسباتی روش مونتکارلو می‌توان روش شبیه‌سازی مونتکارلو نشان داده شده است.

در این نوشتار با بهره‌گیری از مهم‌ترین مزیت روش مونتکارلو، یعنی امکان درنظرگرفتن عدم قطعیت‌ها در پارامترهای ورودی، فرض توزیع غیریکنواخت عمق براساس داده‌ی کاتالوگ اعمال شده است. از دیگر مزایای روش مونتکارلو می‌توان به قابلیت درنظرگرفتن مدل‌های غیرپواسونی و درک آسان‌تر آن اشاره کرد.^[۷] در بخش بعدی نیز به معنی یک ساختگاه در پیوندی کشور و برآورد پارامترهای لرزه‌خیزی برای ساختگاه مربوط پرداخته شده است.

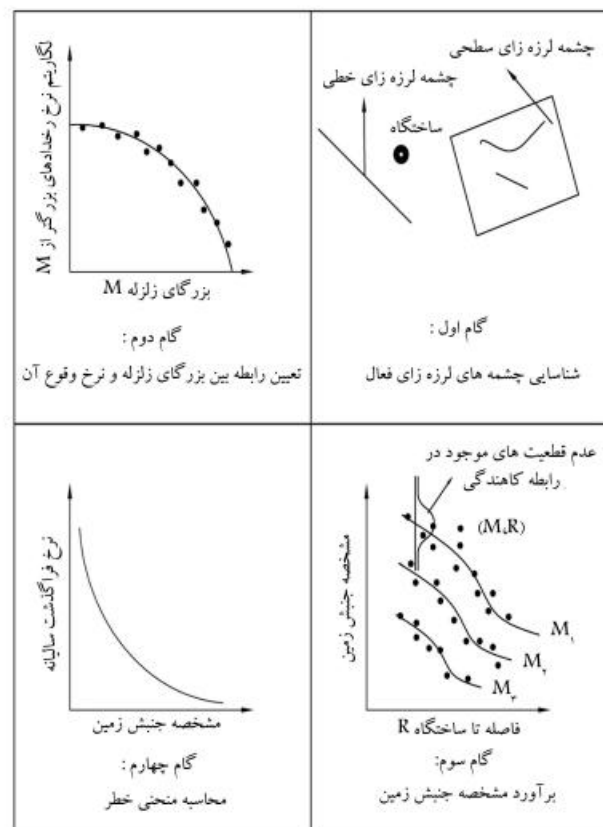
۳. معرفی ساختگاه و داده‌های مورد استفاده

۳.۱. ساختگاه مورد مطالعه

شهرستان ازنا با مختصات جغرافیایی (۴۹°۴۶'۲ و ۴۹°۴۵'۴ و ۳۳°۴۶'۲) واقع در استان لرستان و ایالت لرزه‌یی راگرس به عنوان ساختگاه مورد مطالعه در نظر گرفته شده است. از گسل‌های فعال در شعاع ۱۵۰ کیلومتری ساختگاه موردنظر می‌توان به گسل‌های راگرس، نهادن، بالارود و دزفول اشاره کرد (شکل ۳). در ادامه، رخدادهایی که تا سال ۱۳۹۲ در شعاع ۱۵۰ کیلومتری ساختگاه موردنظر نزد داده‌اند، به گسل‌های فعال اختصاص داده شده و در مجموع ۵ چشم‌های لرزه‌زا سطحی در نظر گرفته شده است، که در شکل ۴ قابل مشاهده است.

۳.۲. داده‌های لرزه‌زا

کاتالوگ ISC^[۸] به عنوان منبع اصلی در استخراج رويدادها در نظر گرفته شده و در کنار این کاتالوگ از کاتالوگ IHEES^[۹] برای تکمیل داده‌ها استفاده شده است. این تذکر لازم است که قبل از انجام هرگونه محاسبه‌یی، پالایش کاتالوگ از پیش لرزه‌ها و پس لرزه‌ها صورت پذیرفته و در نهایت، ۳۱۲ رخداد مستقل حاصل شده است. در بخش بعدی با استفاده از این ۳۱۲ داده، پارامترهای لرزه‌خیزی برای هر یک از چشم‌های لرزه‌زا محاسبه شده است.

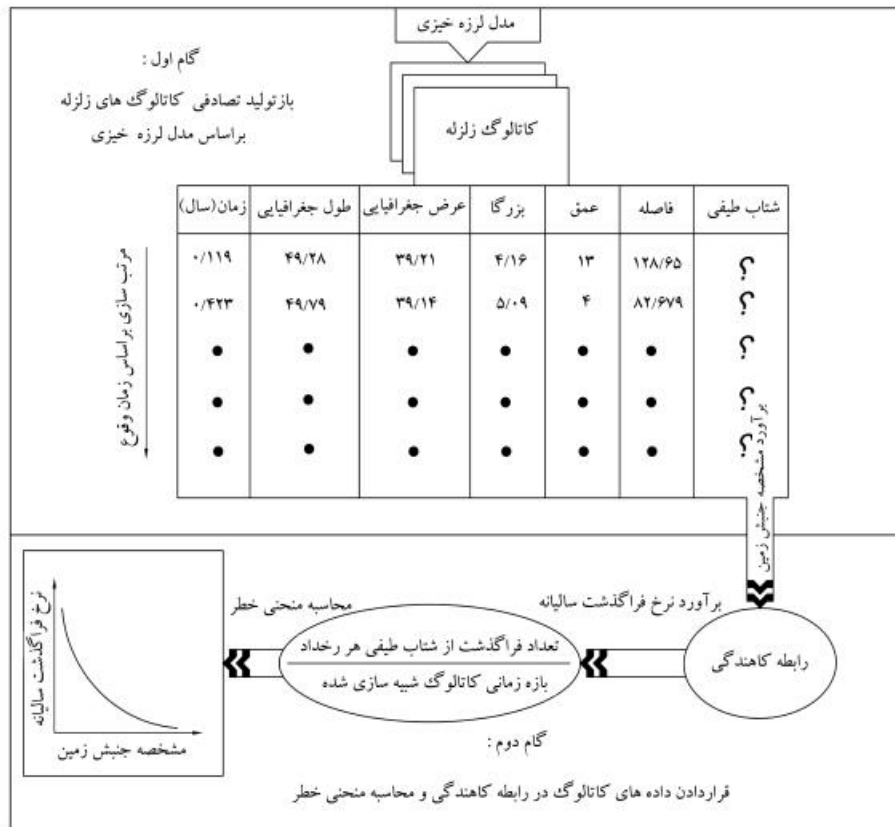


شکل ۱. گام‌های محاسباتی تحلیل خطر لرزه‌یی احتمالاتی.

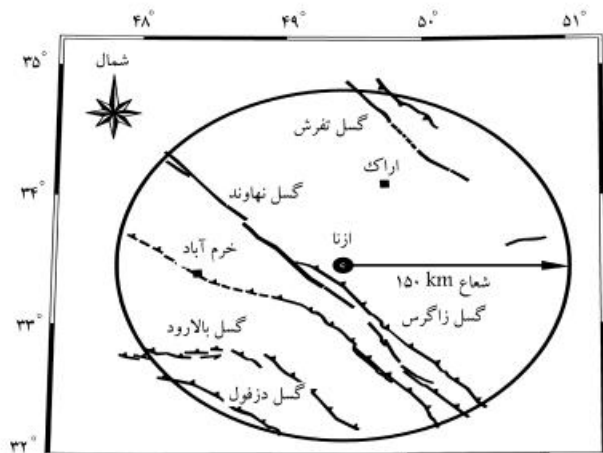
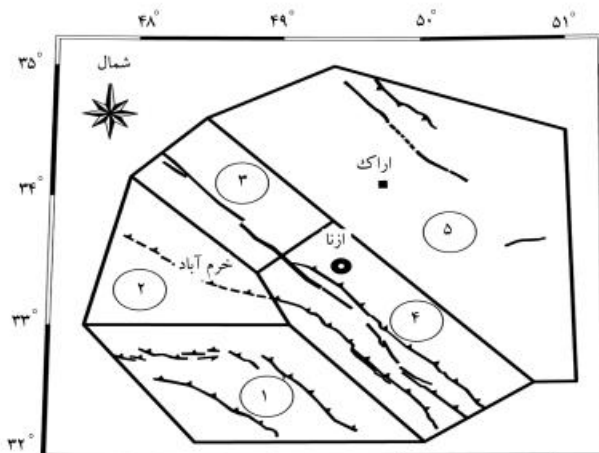
هدف از این نوشتار نقد این رویکرد غالب در تحلیل خطر لرزه‌یی کلاسیک است. اثر پارامتر عمق زلزله در مشخصه‌ی جنبش زمین کاملاً روشن است و البته تجزیه‌ی زلزله‌های پیشین شاهدی بر این مدعای است، مثلاً در زمین لرزه‌یی که شهرستان سراوان را با بزرگای گشتاوری ۹۵/۷ و عمق ۹۵ کیلومتر در ۲۷ فروردین ۱۳۹۲ لرزاند است. فقط یک تن جان خود را از دست داده و عملای خسارتخانی در پی نداشته است.^[۱۰] در حالی که در زلزله‌ی بهم که در ۵ دی ۱۳۸۲ با بزرگای ۶/۶ ریشتر و عمق ۱۰ کیلومتر اتفاق افتاده است، حدود ۵۰۰۰۰ تن از افراد جان باخته‌اند.^[۱۱] نویسنده‌گان این نوشتار بر این باورند که لحاظ عدم قطعیت پارامتر عمق، در مقابل نگرش درنظرگرفتن عددی ثابت برای این پارامتر می‌تواند نتایج تحلیل خطر را دست‌خوش تغییرات قابل ملاحظه‌ی کند.

رویکردی که برای مطالعه‌ی موضوع ذکر شده انتخاب شده است، بهره‌گیری از روش تحلیل خطر لرزه‌یی مبتنی بر شبیه‌سازی مونتکارلو است. با بهره‌گیری از این روش می‌توان افزون بر پارامترهای بزرگا و فاصله، سایر متغیرهای دخیل در فرایند برآورد خطر مانند: عمق، نوع خاک، نوع گسلش، ... را نیز به صورت متغیرهای تصادفی مدل کرد.^[۱۲] از روش مبتنی بر شبیه‌سازی مونتکارلو در مطالعات دیگری مانند روزنه‌وار (۱۹۸۳)، شلپیرا (۱۹۸۲)، جانسون^۱ (۱۹۸۸)، کویاناگی^۲ (۱۹۸۸)، و اورز^۳ و روزنه‌وار (۱۹۹۳) برای انجام تحلیل خطر لرزه‌یی استفاده شده است.^[۱۳]

در ادامه‌ی نوشتار نخست به معرفی اجمالی روش مبتنی بر شبیه‌سازی مونتکارلو در تحلیل خطر لرزه‌یی احتمالاتی پرداخته شده است. سپس ساختگاهی واقعی در پیوندی کشور انتخاب و پس از صحبت‌سنجی روش شبیه‌سازی مونتکارلو در مقایسه با روش کلاسیک، به بررسی اثر لحاظ عدم قطعیت‌های پارامتر عمق پرداخته شده است.



شکل ۲. چارچوب محاسباتی روش مونت‌کارلو.^[۱۹]



شکل ۴. نقشه‌ی چشم‌های لرزه‌زای شناسایی شده برای شهرستان ازنا.

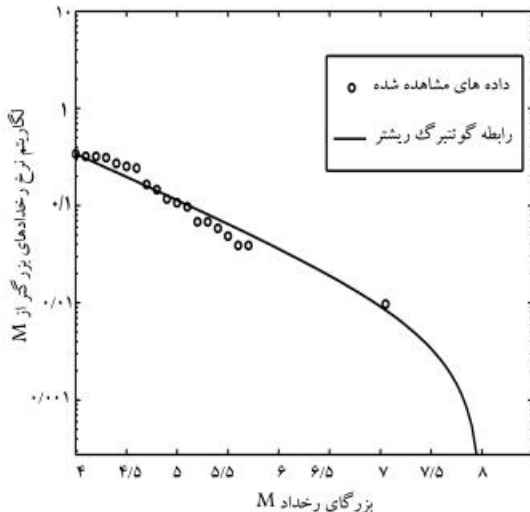
شکل ۳. نقشه‌ی گسل‌های فعال در شعاع ۱۵۰ کیلومتری ساختگاه مورد مطالعه.

۳.۳. یارامترهای لرزه‌خیزی

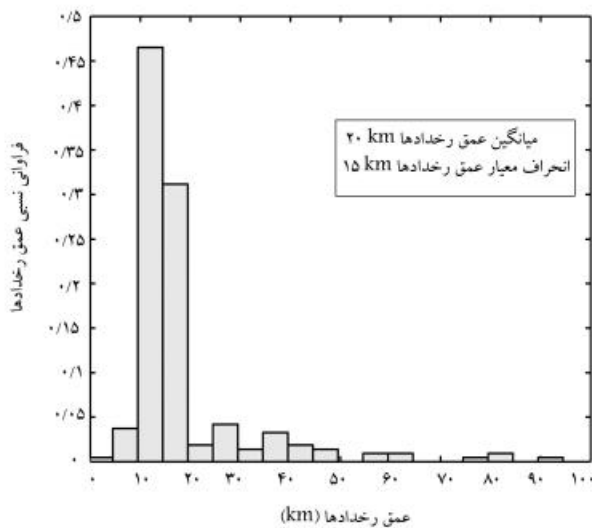
۳.۳. پارامترهای لرزه خیزی برای کنترل سازی لرزه خیزی یک ناحیه‌ی مشخص، روابط مختلفی با استفاده از نحوه‌ی توزیع زلزله‌ها و بزرگای آنها ارائه شده است. یکی از معتبرترین آنها، رابطه‌ی گوتبرگ-ریشتر است (رابطه‌ی ۲):^[۱]

$$\ln \lambda_m = \alpha - \beta m \quad (1)$$

در این نوشتار با پهنه‌گیری از پژوهش توکلی و آشتینی (۱۹۹۹)^[۱۷] بزرگ‌های M_{\max} ، که نشان‌دهنده‌ی کمیته و پیشنهادی مقدار قابل انتظار بزرگ‌ای رخدادها هستند، تعیین و با استفاده از روش آماری پیشنهادی احتمال^[۱۸] پارامتر لرزه خیزی λ_m نخست رخداد یا تعداد زلزله‌های بزرگ‌تر از m در سال است. α و β ثابت‌های لرزه‌یی منطقه یا چشمی لرزه‌زا هستند. در استفاده از رابطه‌ی مذکور



شکل ۵. استخراج پارامتر لرزه‌خیزی β برای چشمی لرزه‌زا شماره‌ی ۴.



شکل ۶. پراکندگی داده‌های عمق کاتالوگ.

جدول ۲. توزیع غیریکنواخت عمق رویدادها.

عمق زلزله	(۸ - ۱۷)	(۹ - ۲۶)	(۱۸ - ۲۵)	(۲۷ - ۳۵)	وزن مربوط
۲۶ ≤	۰/۱۰	۰/۱۰	۰/۷۳	۰/۰۴	۰/۰۳

توجه به اینکه بررسی‌های اولیه نشان داده است که تغییرات عمق کاتونی به اندازه‌ی ۴ کیلومتر تأثیر چنانی در تابیغ نهایی تحلیل خطر نخواهد داشت، داده‌های کاتالوگ در دسته‌هایی به طول ۸ کیلومتر دسته‌بندی و در ادامه، توزیع عمق غیریکنواخت مطابق با جدول ۲ متناظر با مراکز دسته‌ها در نظر گرفته شده است.

۵.۳. روابط کاهمدگی

روابط کاهمدگی بیان‌گر ارتباط بین پارامترهای مختلف حرکت زمین از جمله: بزرگا، فاصله، سرعت موج برشی، نحوه‌ی گسلش، و پارامترهای فراوان دیگری است که به برآورد مشخصه‌ی جنبش زمین می‌پردازد.^[۱۶] انتخاب رابطه‌ی کاهمدگی در زمرةی عدم قطعیت‌های ذاتی است و برای لحاظ این عدم قطعیت از روش درخت منطقی استفاده می‌شود.^[۱۷] در این نوشتار به دلیل آنکه هدف فقط ارزیابی اثر

جدول ۱. پارامترهای لرزه‌خیزی.

چشمی لرزهزا	M_{\max}	M_0	λ_0	β	α
چشمی ۱	۷/۲	۴	۲/۵۵	۱/۱۹	
چشمی ۲	۷/۲	۴	۰/۶۹	۱/۰۵	
چشمی ۳	۷/۶	۴	۰/۴۱	۱/۲۳	
چشمی ۴	۸	۴	۰/۳۴	۱/۰۷	
چشمی ۵	۷/۳	۴/۵	۰/۲۷	۱/۲۲	

β برآورد شده است. در چشمی لرزه‌زا شماره‌ی ۴، رخدادی با بزرگای گشتاوری بیش از ۷/۲ به وقوع پیوسته است، لذا با انتخاب بزرگای ۸ به عنوان بیشینه‌ی بزرگای قابل انتظار در این چشمی لرزه‌زا و مقدار ۴ برای کمینه‌ی بزرگای رخدادها، داده‌های مربوط به بزرگای رخدادها به فاصله‌ی ۰/۰۵ واحد بزرگا بین دو بزرگای ۴ و ۸ تقسیم‌بندی شده‌اند. در ادامه، لگاریتم نرخ وقوع سالیانه برای هر بزرگا و λ_0 یا همان نرخ رخداد M محاسبه شده و در نهایت، برآش پارامتر لرزه‌خیزی β با توجه به داده‌های مشاهده شده و به روش آماری بیشینه‌ی احتمال صورت پذیرفته است. در شکل ۵، انتطباق رابطه‌ی گوتبرگ - ریشر به ازاء پارامترهای لرزه‌خیزی محاسبه شده با داده‌های موجود در کاتالوگ برای چشمی لرزه‌زا شماره‌ی ۴ مشاهده می‌شود.

برای سایر چشمی‌های لرزه‌زا، فرایندی مشابه آنچه برای چشمی لرزه‌زا شماره‌ی ۴ صورت پذیرفته است، انجام و پارامترهای لرزه‌خیزی محاسبه شده‌اند. پارامترهای لرزه‌خیزی، که نشان دهنده‌ی الگوی رخداد زلزله در یک منطقه هستند، برای تمامی چشمی‌های لرزه‌زا در جدول ۱ ارائه شده‌اند.

۴.۳. عمق رویدادها

برای تعیین عمق رخدادها باید از کاتالوگ‌های زلزله استفاده کرد. استفاده از داده‌های موجود در کاتالوگ با محدودیت‌هایی روبرو خواهد بود. به این معناکه تمامی اطلاعاتی که از مطالعه‌ی کاتالوگ‌های زلزله حاصل می‌شود، صحبت و دقت کافی ندارند. مثلاً عمق کاتونی زلزله‌ی زاگرس (جولانی، ۱۹۹۴) با استفاده از روش انکاس امواج موجی^[۱۰] معادل ۱۴ کیلومتر محاسبه شده است؛ این در حالی است که عمق کاتونی زلزله‌ی ذکر شده در کاتالوگ CMT معادل ۴۹ کیلومتر، در کاتالوگ ISC معادل ۴۱ کیلومتر، و در کاتالوگ NEISC معادل ۴۳ کیلومتر گزارش شده است.^[۱۱] استفاده از روش‌هایی همچون روش انکاس امواج موجی، نیازمند شبکه‌یی با دقت بالا در کل کشور است، که در مورد زلزله‌های گذشته چنین شبکه‌یی وجود نداشته است؛ بنابرین فقط داده‌های ۱۵ سال اخیر ساختگاه مورد نظر، بررسی شده و توزیعی متناسب با شکل ۶ بدست آمده است.

مطابق شکل ۵، عمق رخدادها پراکندگی قابل ملاحظه‌یی دارد، داده‌های مربوط به عمق رخدادها توزیع غیریکنواخت با میانگین ۲۰ و انحراف معیار ۱۵ کیلومتر دارند. مقادیر ذکر شده از بررسی ۲۱۵ داده، که از کاتالوگ پژوهشگاه بین‌المللی زلزله‌شناسی و مهندسی زلزله استخراج شده‌اند، محاسبه شده است. هدف از نگارش این نوشتار، ارزیابی اثر لحاظ عدم قطعیت‌های پارامترهای تابیغ نهایی تحلیل خطر لرزه‌یی است، به این منظور باید فریند انتخاب رابطه‌ی لرزه‌یی، یک بار برای توزیع غیریکنواخت عمق برای با میانگین عمق رخدادها و بار دیگر برای توزیع غیریکنواخت و اقعیکایانه‌ی عمق مطابق با داده‌های کاتالوگ انجام شود. با

آتی نوشتار نیز به هنگام استفاده از روش شبیه‌سازی مونتکارلو، دستکم ۱ میلیون شبیه‌سازی صورت گرفته است.

لحاظ عدم قطعیت پارامتر عمق است، [۱۸] برای منطقه‌ی ایران و متناسب با شرایط ساختگاهی منطقه‌ی مورد مطالعه فقط از رابطه‌ی توسعه یافته‌ی کاهندگی استفاده و به عبارتی از لحاظ عدم قطعیت‌های روابط کاهندگی صرف‌نظر شده است.

در بخش بعدی با فرض توزیع یکنواخت برابر با میانگین عمق رخدادها به صحبت‌سنجدی نتایج روش مونتکارلو در مقایسه با روش کلاسیک پرداخته شده است.

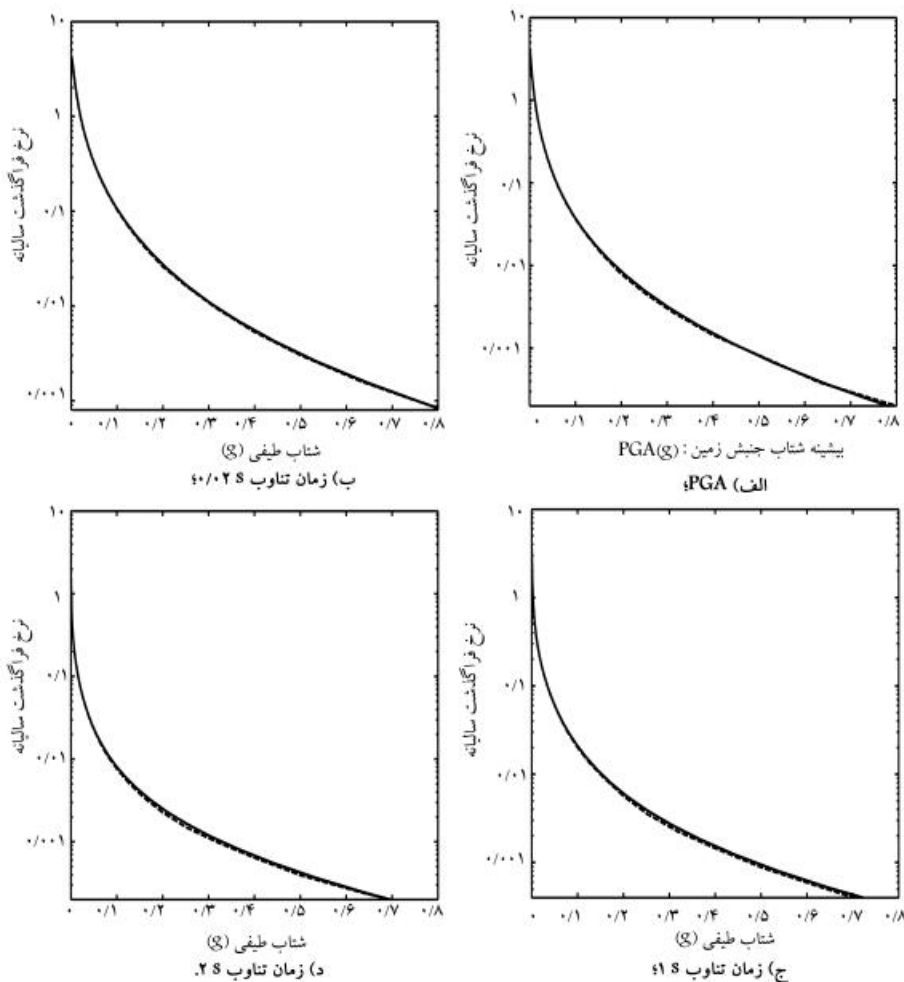
۵. ارزیابی اثر لحاظ عدم قطعیت‌های پارامتر عمق در نتایج نهایی تحلیل خطر لرزه‌ی

برای مطالعه‌ی اثر لحاظ عدم قطعیت‌های پارامتر عمق، تحلیل خطر لرزه‌ی به روش مونتکارلو که صحبت نتایج آن در بخش قبل به اثبات رسیده است، ابتدا با فرض توزیع عمق یکنواخت برابر با میانگین داده‌های کاتالوگ یعنی عمق ۲۰ کیلومتری انجام و در ادامه، فرض توزیع غیریکنواخت عمق مطابق با داده‌های جدول ۲ اعمال و فرایند تحلیل خطر تکمیل شده است. مقادیر شتاب طیفی در سطوح خطر با دوره‌ی بارگشت ۴۷۵ و ۲۴۷۵ ساله به ازاء زمان‌های تناوب مختلف در جدول‌های ۳ و ۴ برای دو توزیع یکنواخت و غیریکنواخت عمق مبتنی بر داده‌های کاتالوگ ارائه شده است.

با توجه به جدول ۳، تفاوت بین مقادیر شتاب طیفی در دو حالت توزیع یکنواخت برابر با میانگین عمق داده‌های کاتالوگ یعنی ۲۰ کیلومتر و توزیع واقعگیرانه و غیریکنواخت عمق، به ویژه در زمان‌های تناوب کوتاه قابل توجه است و در بیشینه

۴. صحبت‌سنجدی روش مبتنی بر شبیه‌سازی مونتکارلو در مقایسه با روش کلاسیک

برای مطالعه‌ی صحبت نتایج روش شبیه‌سازی مونتکارلو تحلیل خطر لرزه‌ی به روش کلاسیک و مبتنی بر شبیه‌سازی مونتکارلو با فرض توزیع عمق یکنواخت برابر با میانگین عمق زلزله‌های ۱۵ سال اخیر ساختگاه موردنظر، یعنی عمق ۲۰ کیلومتر انجام و نتایج نهایی شامل منحنی‌های خطر در زمان‌های تناوب مختلف محاسبه شده است. همان‌گونه که در شکل ۷ مشاهده می‌شود، شاهد برابری دو روش و انطباق منحنی‌های خطر در زمان‌های تناوب گوناگون هستیم. برابری دو روش مذکور در تعدادی بیش از ۱ میلیون شبیه‌سازی حاصل شده است، بنابرین در بخش‌های



شکل ۷. منحنی‌های خطر (روش شبیه‌سازی مونتکارلو اخط‌چین) در مقایسه با روش کلاسیک (خط متمدا).

بالاتر در طراحی لرزه‌ی سازه‌هایی با اهمیت بالاتر مورد توجه قرار می‌گیرند و با توجه به اینکه در نظر گرفتن توزیع واقع‌گردانه‌ی عمق می‌تواند تأثیر قابل ملاحظه‌ی در نتایج نهایی تحلیل خطر داشته باشد، باید بیش از پیش اثر عدم قطعیت‌های پارامتر عمق رخدادها را جدی گرفت.

با توجه به تأثیرگذاری دهن اثر لحاظ عدم قطعیت‌های پارامتر عمق در نتایج نهایی تحلیل خطر لرزه‌یی، محدودیت‌های روش کلاسیک در لحاظ اثر عدم قطعیت‌های این پارامتر و همچنین مرسم‌بودن روش کلاسیک در جامعه‌ی مهندسی در بخش بعدی به ارائه‌ی راهکار برای لحاظ اثر عدم قطعیت پارامتر عمق در تحلیل خطر کلاسیک پرداخته شده است.

۶. لحاظ اثر عدم قطعیت‌های عمق رخدادها در تحلیل خطر کلاسیک

استفاده از روش کلاسیک در تحلیل خطر لرزه‌یی بیش از هر روش دیگری در جامعه‌ی مهندسی موردن استقبال قرار گرفته و یکی از مزیای این روش نسبت به روش شبیه‌سازی مونتکارلو، کاهش زمان محاسبات است.^[۷] از طرفی می‌دانیم که این روش در لحاظ اثر عدم قطعیت‌های مربوط به عمق رخدادها در پارامترهای ورودی با محدودیت روبروست؛ بنابراین برای لحاظ اثر این عدم قطعیت، می‌توان به درنظر گرفتن یک توزیع یکنواخت و لحاظ عددی ثابت، اما نه لزوماً مقدار میانگین، برای عمق رخدادها به عنوان راهکار پیشنهادی اشاره کرد، به نحوی

جدول ۳. مقادیر شتاب طیفی در زلزله با دوره‌ی بازگشت ۴۷۵ ساله (g).

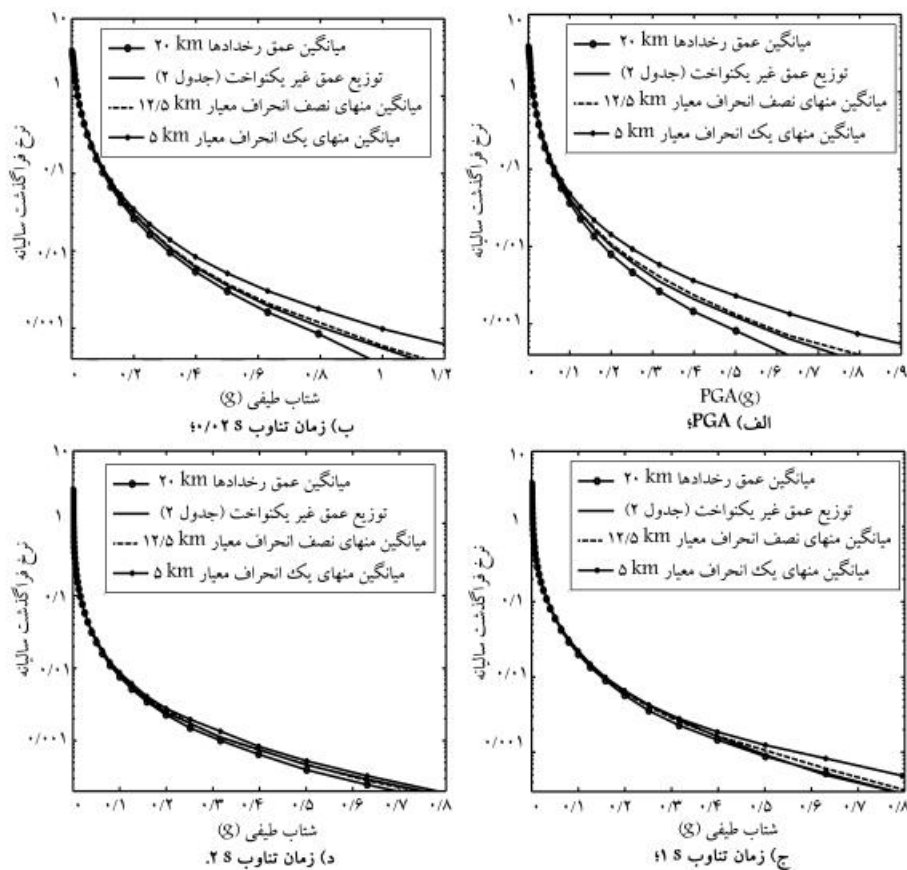
توزیع عمق	زمان تناوب (ثانیه)	PGA	۱	۰/۲	۰/۴	۰/۸	۱/۲
توزیع یکنواخت ۲۰ کیلومتر	۰/۳۵	۰/۵۷۱	۰/۳	۰/۵۱	۰/۲۸	۰/۲۰	۰/۱۸
توزیع غیر یکنواخت متاظر با کاتالوگ	۰/۴۰	۰/۶۱۴	۰/۳۵	۰/۶۱۴	۰/۲۲۶	۰/۲۰	۰/۱۸

جدول ۴. مقادیر شتاب طیفی در زلزله با دوره‌ی بازگشت ۲۴۷۵ ساله (g).

توزیع عمق	زمان تناوب (ثانیه)	PGA	۱	۰/۲	۰/۴	۰/۸	۱/۲
توزیع یکنواخت ۲۰ کیلومتر	۰/۶۲۷	۰/۸۷۵	۰/۶۲۷	۰/۸۷۵	۰/۴۹۳	۰/۷۳	۰/۴۹۳
توزیع غیر یکنواخت متاظر با کاتالوگ	۰/۷۵	۰/۷۴	۰/۷۵	۰/۷۴	۰/۵۳۷	۰/۷۴	۰/۵۳۷

شتاب زمین (PGA) به $۰/۰۵$ شتاب گرانش زمین (g) می‌رسد، که به نظر تفاوت قابل تأملی است.

با بررسی جدول ۴ مشاهده می‌شود که در سطوح خطر بالاتر شاهد افزایش تفاوت بین مقادیر شتاب طیفی در زمان‌های تناوب مختلف نسبت به سطوح خطر پایین‌تر هستیم. به گونه‌یی که در زلزله با دوره‌ی بازگشت ۴۷۵ ساله، تفاوت بین PGA حاصل از توزیع عمق یکنواخت برآورده شده با فرض توزیع واقع‌گردانه بوده $۰/۰۵$ شتاب گرانش زمین کمتر از مقدار برآورده شده با دوره‌ی بازگشت ۲۴۷۵ ساله به $۰/۱۲۸$ شتاب گرانش زمین افزایش یافته است. با آگاهی از اینکه زلزله‌های با دوره‌ی بازگشت



شکل ۸. منحنی‌های خطر.

خطر لرزه‌یی استفاده شود، تا نتایج برابری با فرض توزیع واقعگیرانه به دست آید.

که فرض این مقدار ثابت برای عمق رخدادها، نتایج پرایری با فرض توزیع واقعگردانه‌ی عمق داشته باشد. بنابراین جستجو جهت یافتن یک مقدار ثابت جهت فرض توزیعی یکنواخت با ویژگی ذکر شده برای عمق رخدادها صورت پذیرفته است.

۶. نتیجہ گیری

در مطالعات تحلیل خطر لرزه‌یی به روش کلاسیک به دلیل محدودیت‌های موجود در نظریه انتگرال‌گیری از عدم قطعیت‌های پارامتر عمق رخدادها چشم‌پوشی می‌شود و فرض مقدار میانگین عمق رخدادهای گذشته برای این پارامتر، با اورده مقادیر شتاب طیفی یک ساختگاه صورت می‌گیرد. در این نوشتار به منظور ارزیابی اثر لحاظ عدم قطعیت‌های پارامتر عمق مطالعه‌ی موردنی تحلیل خطر شهرستان ازنا به روش شبیه‌سازی مونت‌کارلو با اعمال فرض توزیع واقع‌گرایانه‌ی عمق بر مبنای مطالعه‌ی رداده‌های کاتالوگ صورت پذیرفته است. در واقع ممنظور کردن توزیع غیریکنواخت رای پارامتر عمق رخداد و همچنین استفاده از روش شبیه‌سازی مونت‌کارلو به عنوان رویکردی که کمتر در جامعه‌ی مهندسی مورد توجه قرار گرفته است، می‌تواند از جهت‌های نوآرائه‌ی این بروهش تلقی، شوند.

در این نوشتار روند کار به این صورت بوده است که ابتدا نتایج روش شبیه سازی مونت کارلو که قابلیت در نظر گرفتن توزیع غیریکنواخت برای عمق رخدادها را دارد، در مقابل روش کلاسیک با فرض توزیع یکنواخت عمق برابر با میانگین داده های کاتالوگ به اثبات رسیده است. سپس با اعمال فرض توزیع غیریکنواخت عمق، فرایند تحلیل خطر تکمیل شده است. با در نظر گرفتن توزیع واقع گرایانه برای عمق رخدادها، غیر قابل ملاحظه بی در نتایج نهایی تحلیل خطر مشاهده شده است. در پایان با در نظر گرفتن مقادیر مختلف برای عمق رخدادها سعی شده است تا یک مقدار ثابت را این پارامتر مشخص شود، به نحوی که در نظر گرفتن این مقدار نتایجی را از همه دهد که توزیع واقع گرایانه عمق حاصل شود. لذا مقدار $12/5$ کیلومتر همان مقدار طلوب است که برابر با میانگین داده های کاتالوگ (عمق 20 کیلومتر) منتهی $5/0$ نخraf معیار $7/5$ کیلومتر است.

بنابراین پیشنهاد می‌شود که به منظور لحاظ اثر عدم قطعیت‌های مربوط به عمق رخدادها در روش کلاسیک تحلیل خطر، می‌توان از فرض توزیع عمیق یکنواخت برای این مانگن عمق رخدادها متهای ۵/۰ انحراف معنار استفاده کرد.

فرایند تحلیل خطر لرزه‌یی برای \mathbb{E} توزیع مختلف عمق شامل: توزیع غیریکنواخت متناظر با داده‌های کاتالوگ، توزیع یکنواخت برابر با میانگین عمق داده‌های کاتالوگ (کیلومتر)، توزیع یکنواخت برابر با میانگین عمق داده‌های کاتالوگ منهای ۲۰ کیلومتر)، توزیع همچنین توزیع یکنواخت برابر با میانگین عمق اتحارف معیار (۵ کیلومتر)، و همچنین توزیع یکنواخت برابر با میانگین عمق داده‌های کاتالوگ منهای ۱ اتحارف معیار (۵ کیلومتر)، و همچنین اتحارف معیار $12/5$ کیلومتر) صورت پذیرفته است. در شکل ۸، منحنی‌های خطر به ازاء \mathbb{E} توزیع عمقی، که پیشتر به آن اشاره شده است، در زمان‌های تناوب مختلف ارائه شده است: که مطابق آن، فرض توزیع عمق یکنواخت برابر با میانگین عمق رخدادها همواره مقادیر شتاب طیفی کمتری را نسبت به \mathbb{E} توزیع دیگر عمق براورد می‌کند و فرض توزیع عمق یکنواخت برابر با میانگین عمق رخدادها منهای ۱ اتحارف معیار به براورد مقادیر شتاب طیفی بسیار محافظه‌کارانه‌تری نسبت به \mathbb{E} توزیع دیگر عمق می‌انجامد. تفاوت بین مقادیر شتاب طیفی محاسبه شده در توزیع‌های مختلف عمق، با کاهش زمان تناوب افزایش می‌یابد: همچنین در سطوح خطر بالاتر، تفاوت رشد فرایندی می‌مشاهده می‌شود. شایان ذکر است که با فرض توزیع عمق یکنواخت برابر با میانگین عمق رخدادها منهای ۵ اتحارف معیار، بیشترین مطابقت ممکن با منحنی‌های خطر در صورت فرض اعمال توزیع واقع‌گرایانه یا غیریکنواخت عمق حاصل شده است.

براساس توصیه‌ی کارشناسان در صورت نداشتن اطلاعات کافی می‌توان از عمق ۱۲ کیلومتری به عنوان توزیع یکنواخت عمق در فرایند تحلیل خطر لرزه‌ی استفاده کرد.^[۲] مقدار پیشنهادی توسط کارشناسان به مقدار عمق ۱۲/۵ کیلومتری (میانگین عمق داده‌های کاتالوگ منهای ۰/۵ انحراف معیارا) بسیار زدیک است. با توجه به اینکه همواره مقدار میانگین داده‌های کاتالوگ‌های مختلف منهای ۱ انحراف معیار به مقدار ۱۲ کیلومتری نزدیک نخواهد بود، پیشنهاد می‌شود که از توزیع عمق یکنواخت برایر با میانگین داده‌های کاتالوگ منهای ۰/۵ انحراف معیار به جای مقدار میانگین داده‌های کاتالوگ در تحلیل

یادوگیری

منابع (References)

1. Rosenhauer
 2. Shapira
 3. Johnson
 4. Koyanagi
 5. Ahorner
 6. Musson
 7. Emme
 8. Scordilis
 9. maximum likelihood estimation
 10. teleseismic waveform inversion methods

1. McGuire, R.K., *Seismic Hazard and Risk Analysis*, Earthquake Engineering Research Institute, MNO-10, pp. 34-43 (2004).
 2. Green, R.A. and Hall, W.J., *An Overview of Selected Seismic Hazard Analysis*, Report on a Research Project by the Department of Civil Engineering, Structural Research Series No.592, University of Illinois, Urbana, Illinois, pp. 35-40 (1994).
 3. Atkinson, G.M. "Integrating advances in ground-motion and seismic-hazard analysis". In: *Proceedings of the 15th*

- World Conference on Earthquake Engineering, WCEE, Lisboa, pp. 1-3 (2012).*
4. Guideline for Seismic Hazard Analysis, Islamic Republic of Iran, Vice Presidency for Strategic Planning and Supervision in Press (in Persian).
 5. <http://fa.wikipedia.org>.
 6. Musson, R.M.W. and Sarageant, S.L., *Eurocode 8 Seismic Hazard Zoning Maps for the U.K.*, British Geological Survey, Seismology and Geomagnetism Program Technical, Report CR/07/125N, p. 28 (2007).
 7. Musson, R.M.W. "The use of Monte Carlo simulation for seismic hazard assessment in the U.K.", *Annali de Geofisica*, **43**(1), pp. 1-9 (2000).
 8. Assatourians, K. and Atkinson, G.M. "EqHaz- an open-source probabilistic seismic hazard code based on Monte Carlo simulation approach", *Seism. Res. L.* Submitted (see also <http://www.seismotoolbox.ca>), pp. 1-8 (2012).
 9. International Seismological Center (ISC), (available at <http://www.isc.ac.uk>).
 10. International Institute of Earthquake Engineering and Seismology (IIEES), (available at <http://www.iiees.ac.ir>).
 11. *Earthquake Model of the Middle East Region Project (Emme)*, Annual Report (2011).
 12. Scordilis, E.M. "Empirical global relations converting MS and mb to moment magnitude", *J. Seismol.*, **10**(2), pp. 225-236 (2006).
 13. Shoja-Taheri, J., Naserieh, S. and Ghofrani, H. "ML and MW scale in the Iranian Plateau base on the strong motion records", *Bull. Seism. Soc. Am.*, **97**(2), pp. 661-669 (2007).
 14. Tavakoli, B. and Ghafory-Ashtiany, M. "Seismic hazard assessment of Iran", *Annali de Geofisica*, **42**(6), pp. 1013-1020 (1999).
 15. Maggii, A., Priestley, K. and Jackson, J.A. "Focal depths of moderate and large size earthquakes in Iran", *Journal of Seismology and Earthquake Engineering*, **4**(2-3), pp. 1-10 (2002).
 16. Douglas, J. "Earthquake ground motion estimation using strong ground motion records: A review of equation for the estimation of peak ground acceleration and response spectral ordinates", *Earth-Science Reviews*, **61**(1-2), pp. 43-104 (2003).
 17. Mousavi, M., Ansari, A., Zafarani, H. and Azarbakht, A. "Selection of ground motion prediction models for seismic hazard analysis in the Zagros region, Iran", *Journal of Earthquake Engineering*, **16**(8), pp. 1184-1207 (2012).
 18. Ghasemi, H., Zare, M., Fukushima Y. and Koketsu, K. "An empirical spectral ground-motion model for Iran", *J. Seism.*, **13**(4), pp. 499-515 (2009).
 19. Assatourians, K. and Atkinson, G.M. "EqHaz: An open-source probabilistic seismic hazard code based on the Monte Carlo simulation approach", For Submission to *Seism. Res. Letters*, pp.1-20 (July 2012).